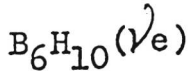


B<sub>6</sub>H<sub>10</sub>



V4401

1958



Hirshfeld F.H., Eriks K., Dickerson R.E.,  
Lippert E.L., Lipconnb W.N.

J.Chem. Phys., 1958, 28, N 1, 56-61

Molecular and crystal structure of  $\text{B}_6\text{H}_{10}$ .

PJX., 1959, 10836

J



B<sub>6</sub>H<sub>10</sub>

1970

135144c Molecular-beam mass spectra of hexaborane(12) and octaborane(12). Stafford, Fred E.; Steck, Sara J.; Pressley, George A., Jr.; Dobson, Jerry; Schaeffer, Riley (Dep. Chem., Northwestern Univ., Evanston, Ill.). *Inorg. Chem.* 1970, 9(11), 2452-7 (Eng). Mol.-beam mass spectra and ionization potentials have been obtained for the easily decompd. B hydrides, hexaborane(12) and octaborane(12). Comparison of this type of spectrum with one that contains pyrolysis products formed on hot surfaces of the ion source and on the walls of the mass spectrometer suggests that another hexaborane and pentaborane(9) are formed pyrolytically from hexaborane(12). No pyrolytic decompn. of octaborane(12) is observable under similar conditions. Ionization potentials were measured to be  $9.75 \pm 0.2$  eV (hexaborane(12)) and  $9.52 \pm 0.1$  eV (octaborane(12)). Differences in fragmentation patterns of these 2 compds., together with results from previous exptl. work, are correlated with structure.

RCHH

C.A. 1970.73.26

+1



*B6 H 10*

*1971*

7 Д140. Гексаборан (10). Волновая функция метода самосогласованного поля, локализованные орбитали и связь с химическими свойствами. Epstein Irving R., Tossell John A., Swinkes E., Stevens R. M., Lipscomb W. N. Hexaborane(10). Self-consistent field wave function, localized orbitals, and relationships to chemical properties. «Inorg. Chem.», 1971, 10, № 1, 171—181 (англ.)

Электронное строение молекулы  $\text{B}_6\text{H}_{10}$  рассчитано не-эмпирич. методом ССП МО ЛКАО в миним. базисе слэтеровских ф-ций. Геометрия строва атомов бора взята по уточненным рентгеноструктурным данным. Для атомов Н принятая идеализированная геометрия с симметричными мостиковыми связями  $\text{B}-\text{H}-\text{B}$  и расстоянием  $\text{B}-\text{H}$  1,322 Å. Экспоненты базисных ф-ций взяты из оптимизированного расчета диборана. Приведены рассчитанные значения полной энергии и различных вкладов в полную энергию, энергий и коэф. МО. Выполнено преобразование

*Э1. Строение*

*09. 1971. 70*

*эксп.*

к локализованным МО методом максимизации собств.  
энергии кулоновского взаимодействия

$$D = \sum_k \left\langle \Phi_k \Phi_k \left| \frac{1}{r_{12}} \right| \Phi_k \Phi_k \right\rangle$$

по Рюденбергу. Анализ заселенностей по Малликену приводит к следующим значениям атомных зарядов: —0,02 на центральном атоме В, 0,04—0,07 на периферич. атомах В, от —0,04 до —0,09 на терминальных атомах Н и 0,02—0,03 на мостиковых атомах Н. Заселенности перекрывания связей находятся в соответствии с принятыми длинами связей В—В и предсказывают различия в характере связи и положениях мостиковых атомов Н. Проданализировано строение найденных локализованных двух- и трёхцентровых МО и отмечена их переносимость. Расчитанные энергии атомизации находятся в хорошем согласии с эксперим. данными. В свете полученных результатов подробно обсуждены магн. свойства и химическая реакционная способность рассматриваемого соединения.

А. Багатурьянц

1971

B<sub>6</sub>H<sub>10</sub>расчет

13 Б29. Гексаборан (10). Волновые функции само-согласованного поля, локализованные орбитали и связь с химическими свойствами. Epstein Irving R., Tossell John A., Switkes E., Stevens R. M., Lipscomb W. N. Hexaborane (10). Self-consistent field wave function, localized orbitals, and relationships to chemical properties. «Inorg. Chem.», 1971, 10, № 1, 171—181 (англ.)

Проведены расчеты по методу MO ЛКАО ССП молекулы B<sub>6</sub>H<sub>10</sub> с использованием миним. базисного набора слейтеровских АО, экспоненты к-рых были взяты из оптимизированного расчета диборана B<sub>2</sub>H<sub>6</sub>. Межъядерные расстояния B—B взяты из опыта, расстояния B—H постулированы. Получены канонич. и локализованные

X· 1971· 13

МО (последние — на основе критерия максим. электронного внутриорбитального отталкивания). Найдено распределение электронной плотности (в том числе проведен анализ заселенностей по Малликену), на основе к-рого интерпретированы магнитные св-ва, дипольный момент и реакц. способность молекулы. Детально обсуждены возможности описания молекулы  $B_6H_{10}$  и изоэлектронных ей карборанов в терминах валентных структур.

Е. Шусторович

B6H10

Solomon S. S. 1972  
et al

A

J. Amer. Chem. Soc.  
1972, 94, no 5, 1443-1450

X. 1972. 15

III, Cell Batt 6

1977

$B_6H_{10}$

энерг.  
структур.

Pepkic H. E., et al  
Int. J. Quant. Chem.,  
1977, 12, n5, 937-61



(all  $B_4H_{10}$ ;  $\text{'''}$ )

36/10

1074

22 Е270. Определение молекулярной структуры ос-  
това гексаборана (10) в газовой фазе методом микро-  
волниевой спектроскопии. Schwoch D., Don B.,  
Burg A. B., Beaudet R. A. Gas phase skeletal mo-  
lecular structure of hexaborane (10) determined by mi-  
crowave spectroscopy. «J. Phys. Chem.», 1979, 83, № 11,  
1465—1469 (англ.)

Измерены в области частот от 8 до 40 ГГц МВ-спек-  
ты гексаборана (10),  $B_6H_{10}$  (I) и его  $3-^{10}B$ ,  $4-^{10}B$ ,  
 $1-^{10}B$ ,  $2-^{10}B$  и полностью замещенного  $^{10}B$ -образцов (II).  
При идентификации переходов использован метод  
МВ—МВ двойного резонанса. Анализ спектров выпол-  
нен в приближении жесткого волчка. Для I и II,  
соств., вращательные постоянные равны (в МГц)  
 $A=5026,03(2)$  и  $5352,17(3)$ ,  $B=4984,13(2)$  и  $5321,23(3)$ ,  
 $C=3037,46(4)$  и  $3252,02(4)$ . По эффекту Штарка 1-го  
и 2-го порядков определены компоненты дипольного  
момента II:  $\mu_a=1,68(1)$ ,  $\mu_c=1,85(4)$  D, и полный ди-  
польный момент  $\mu=2,50(4)$  D. На основе полученных

исследований.

Структура

4.17

Х-3430

Х: 1979 № 22

данных вычислена молек. структура остова гексаборана:  $r(B_2-B_3) = 1,818(4)$  Å,  $r(B_3-B_4) = 1,710(6)$ ,  $r(B_4-B_5) = 1,654(3)$  Å,  $r(B_1-B_2) = 1,774(13)$  Å,  $r(B_1-B_3) = 1,762(4)$  Å,  $r(B_1-B_4) = 1,783(11)$  Å. В спектрах некоторых образцов наблюдается аномальное расщепление линий, не связанное с инструментальными особенностями установки, штарковским эффектом или ядерным квадрупольным эффектом.

С. Н. Мурзин

XV-3730

1949

*B<sub>6</sub>H<sub>10</sub>*

91: 11515b Gas phase skeletal molecular structure of hexaborane(10) determined by microwave spectroscopy. Schwoch, D.; Don, B.; Burg, A. B.; Beaudet, R. A. (Dep. Chem., Univ. Southern California, Los Angeles, CA 90007 USA). *J. Phys. Chem.* 1979, 83(11), 1465-9 (Eng). The microwave spectra of 6 B-substituted species of B<sub>6</sub>H<sub>10</sub> were detd. From this data the gas phase skeletal mol. structure was detd., with the following bond lengths (Å): B<sub>2</sub>-B<sub>3</sub>, 1.818 ± 0.004; B<sub>3</sub>-B<sub>4</sub>, 1.710 ± 0.006; B<sub>4</sub>-B<sub>5</sub>, 1.654 ± 0.003; B<sub>1</sub>-B<sub>2</sub>, 1.774 ± 0.013; B<sub>1</sub>-B<sub>3</sub>, 1.762 ± 0.004; B<sub>1</sub>-B<sub>4</sub>, 1.783 ± 0.011. The dipole moment was detd. to be  $\mu_a = 1.68 \pm 0.02$  D,  $\mu_c = 1.85 \pm 0.04$  D,  $\mu_{tot} = 2.50 \pm 0.04$  D. Anomalous line splittings were obsd. in some species, but have not yet been explained.

*M. B. Chakraborty,  
unpublished*

C.A. 1949, 21N2

$B_6H_{10}$

1981

Brin Paul, et al.

$meopelt.$   
 $pacterium$

J. Chem. Soc., Dalton  
Trans. 1981, (12), 2515-  
- 2522.

(see  $B_5H_9$ ; III)

B<sub>5</sub>H<sub>11</sub>

1997

Bochicchio, R.C.;  
Ponec, Robert; et al.,

CMP-pa,  
neopen-  
pathen

Inorg. Chem. 1997, 36  
(23), 5363 - 68

(cell: B<sub>4</sub>H<sub>10</sub>, III)